

Modélisation mathématique des phénomènes de transfert Série 2 2009-2010

Exercice 1 : Montrer que les équations de conservation sous leur forme générale s'écrivent :

$$\frac{\partial}{\partial t}(\rho \Phi) + \operatorname{div}(\rho \vec{u} \Phi) = \operatorname{div}(\Gamma \operatorname{grad} \Phi) + S$$

Exercice 2 : Donner la classification des équations suivantes :

$$\frac{\partial^2 \Phi}{\partial t^2} - C^2 \frac{\partial^2 \Phi}{\partial x^2} = f(x, t), \quad y^2 \frac{\partial^2 \Phi}{\partial x^2} - x^2 \frac{\partial^2 \Phi}{\partial y^2} = 0, \quad x \frac{\partial^2 \Phi}{\partial x^2} - y \frac{\partial^2 \Phi}{\partial y^2} + 4 \frac{\partial^2 \Phi}{\partial y \partial x} = 0$$

Exercice 3 : Pour les situations physiques indiquées ci-après, lesquelles peuvent être traités d'une manière elliptique et ou d'une manière parabolique.

Cas 1 : écoulement dans un canal plan

- Profils de vitesse et de température uniformes à l'entrée
- Les parois sont maintenues à une température constante

Cas 2 : Ecoulement dans une conduite cylindrique

- Profils de vitesse et de température uniformes à l'entrée
- La paroi latérale est maintenue à une température constante

Cas 3 : Ecoulement sur une plaque plane

- Profils de vitesse uniforme au bord d'attaque
- La paroi latérale est maintenue à une température constante

Exercice 4 : pour $y = \sin(\pi X/2)$ déterminer la dérivée première de y à $X = 0.5$ avec $\Delta X = 0.1$ en utilisant :

$$\frac{dy}{dx} = \frac{y_{i+1} - y_{i-1}}{2\Delta x}, \quad \frac{dy}{dx} = \frac{y_{i+1} - y_i}{\Delta x}, \quad \frac{dy}{dx} = \frac{-y_{i+2} + 8y_{i+1} - 8y_{i-1} + y_{i-2}}{12\Delta x}$$

- Comparer la précision des résultats
- Refaire l'exercice en prenant $\Delta X = 0.05$
- Quelles conclusions en tirez-vous ?

Exercice 5 : Reprendre la même fonction de l'exercice 1 en calculant la dérivée seconde au même point et avec le même pas.

$$\frac{d^2 y}{dx^2} = \frac{y_{i+1} - 2y_i + y_{i-1}}{\Delta x^2}, \quad \frac{d^2 y}{dx^2} = \frac{-y_{i+2} + 16y_{i+1} - 30y_i + 16y_{i-1} - y_{i-2}}{12\Delta x^2}$$

Exercice 6 : On considère une tige de longueur $l = 20$ mm ayant une conductivité thermique constante $k = 0.5 \text{ W/m/K}$ et une source de chaleur uniforme $S = 1000 \text{ kW/m}^3$. Les bouts de la tige se trouvent à la température constante de 100°C et 200°C respectivement.

Déterminer la distribution de la température dans la tige en utilisant la méthode des différences finies. Résoudre le système d'équations obtenu par l'algorithme TDMA. Comparer les résultats numériques avec la solution exacte. Prendre 5 nœuds. Tracer la courbe $T(X)$.

Exo 1: Formalisation mathématique des ph de tr "Série 2"

La forme générale des équations de conservation.

- Montrer que les équations de conservation pour leurs forme générale s'écrivent : $\frac{\partial}{\partial t} (\rho \phi) + \operatorname{div}(f \vec{U} \phi) = \operatorname{div}(f \operatorname{grad} \phi) + s$

ϕ : variable indépendante.

Équations de Navier-Stokes / En coordonnées cartésiennes et en négligeant le 1^{er} terme (\vec{g})

$$1x: \rho \left(\frac{\partial U}{\partial t} + U \frac{\partial U}{\partial x} + V \frac{\partial U}{\partial y} \right) = \frac{\partial}{\partial x} \left(\mu \frac{\partial U}{\partial x} \right) + \frac{\partial}{\partial y} \left(\mu \frac{\partial U}{\partial y} \right) - \frac{\partial P}{\partial x}$$

$$1y: \rho \left(\frac{\partial V}{\partial t} + U \frac{\partial V}{\partial x} + V \frac{\partial V}{\partial y} \right) = \frac{\partial}{\partial x} \left(\mu \frac{\partial V}{\partial x} \right) + \frac{\partial}{\partial y} \left(\mu \frac{\partial V}{\partial y} \right) - \frac{\partial P}{\partial y}$$

En écriture vectorielle : $\begin{cases} \operatorname{grad} U = \frac{\partial U}{\partial x} + \frac{\partial U}{\partial y} = \frac{\partial U}{\partial x} \\ \operatorname{div} \vec{U} = \frac{\partial U}{\partial x} + \frac{\partial V}{\partial y} = \frac{\partial U}{\partial x} \end{cases}$

$$\rho \left(\frac{\partial U}{\partial t} + U \frac{\partial U}{\partial x} + V \frac{\partial U}{\partial y} \right) = \rho \left(\frac{\partial U}{\partial t} + \vec{U} \cdot \operatorname{grad} U \right)$$

$$(*) \underbrace{\frac{\partial}{\partial x} \left(\mu \frac{\partial U}{\partial x} \right)}_{U_x} + \underbrace{\frac{\partial}{\partial y} \left(\mu \frac{\partial U}{\partial y} \right)}_{U_y} = \operatorname{div} \left(\mu \underbrace{\frac{\partial}{\partial x} (U_x + U_y)}_0 \right) \Rightarrow U_x + U_y = \frac{\partial U}{\partial x} + \frac{\partial U}{\partial y} = \operatorname{grad} U$$

$$(**) = \operatorname{div}(\mu \operatorname{grad} U); \quad - \frac{\partial P}{\partial x} = - \operatorname{grad} P$$

$$\rho \left(\frac{\partial U}{\partial t} + \vec{U} \cdot \operatorname{grad} U \right) = \operatorname{div}(\mu \operatorname{grad} U) - \operatorname{grad} P$$

par rapport à ϕ on aura : $\rho \frac{\partial \phi}{\partial t} + \rho \vec{U} \cdot \operatorname{grad} \phi = \operatorname{div}(\mu \operatorname{grad} \phi) + s$ avec : $\mu = f$ et $s = - \operatorname{grad} P$

Pour montrer l'équivalence de : $\frac{\partial}{\partial t} (\rho \phi) + \operatorname{div}(f \vec{U} \phi) = \rho \frac{\partial \phi}{\partial t} + f \vec{U} \cdot \operatorname{grad} \phi$... (1)

pour $\phi = 1 \Rightarrow \frac{\partial P}{\partial t} + \operatorname{div}(f \vec{U}) = 0$ équation de continuité

on multiplie l'équation de continuité par ϕ on aura : $\phi \frac{\partial P}{\partial t} + \phi \operatorname{div}(f \vec{U}) = 0$... (2)

$$(1) + (2) : \rho \frac{\partial \phi}{\partial t} + \rho \vec{U} \cdot \operatorname{grad} \phi + \phi \frac{\partial P}{\partial t} + \phi \operatorname{div}(f \vec{U}) + \phi \frac{\partial P}{\partial t}$$

$$\underbrace{\rho \frac{\partial \phi}{\partial t} + \phi \frac{\partial P}{\partial t}}_{\frac{\partial P \phi}{\partial t}} + \underbrace{\rho \vec{U} \cdot \operatorname{grad} \phi + \phi \operatorname{div}(f \vec{U})}_{-\operatorname{div}(f \vec{U} \phi)}$$

donc on a montré que : $\frac{\partial}{\partial t} (\rho \phi) + \operatorname{div}(\rho \vec{v} \phi) = \operatorname{div}(\rho \operatorname{grad} \phi) + s$
 En notation tensorielle ou indicelle.

$$\underbrace{\frac{\partial}{\partial t} (\rho \phi)}_{\text{I}} + \underbrace{\frac{\partial}{\partial x_i} (\rho v_i \phi)}_{\text{II}} = \underbrace{\frac{\partial}{\partial x_j} \left(\rho \frac{\partial \phi}{\partial x_j} \right)}_{\text{III}} + s$$

I : terme instationnaire temporel.

II : terme convectif.

III : terme diffusif.

IV : terme source.

$$\text{Équation de continuité} : \phi = 1, \rho = \rho_0 = \text{constante}$$

$$\text{Équation de mouvement} : \phi = U, \rho = \rho_0, \operatorname{div} \vec{v} = 0, \vec{v} = \vec{U}, \rho = \rho_0, F_U = \rho_0 U^2, F_{vs} = \rho_0 g, \operatorname{grad} P = -\rho_0 g \vec{U}$$

$$\text{Équation de l'énergie} : \phi = T, \Gamma = \frac{1}{c_p}, s = \frac{s_h}{c_p} = \frac{\text{Force de volume}}{\text{Force unitaire de volume}}$$

s_h : générat° de chaleur / unité de volume.

- effet rayonnement.
- effet Joule.
- effet de dissipation.

$$\text{éq. 1x} : \nabla \Delta \vec{V} = -\nabla P + \rho \vec{g} - \underbrace{[b + c \nabla |V|]}_{\text{T.C}} \vec{V} + \underbrace{d \nabla^2 \vec{V}}_{\text{T.D}}$$

$$\text{éq. 2x} : \rho \underbrace{\left[\frac{\partial \rho U}{\partial r} + \frac{U}{r} \frac{\partial \rho}{\partial \theta} - \frac{V^2}{r} \right]}_{\text{T.C}} = F_r - \frac{\partial P}{\partial r} + \mu \underbrace{\left[\frac{\partial^2 \rho U}{\partial r^2} + \frac{1}{r} \frac{\partial \rho U}{\partial r} + \frac{\partial^2 \rho}{\partial \theta^2} \right]}_{\text{T.S}} + \mu \underbrace{\left[\frac{U}{r^2} - \frac{2}{r^2} \frac{\partial V}{\partial \theta} \right]}_{\text{T.D}}$$

$$\text{éq. 3y} : \rho \underbrace{\left[\frac{\partial \rho V}{\partial r} + \frac{V}{r} \frac{\partial \rho}{\partial \theta} - \frac{U^2}{r} \right]}_{\text{T.C}} = F_\theta - \frac{1}{r} \frac{\partial P}{\partial \theta} + \mu \underbrace{\left[\frac{\partial^2 \rho V}{\partial r^2} + \frac{1}{r} \frac{\partial \rho V}{\partial r} + \frac{1}{r^2} \frac{\partial^2 \rho}{\partial \theta^2} \right]}_{\text{T.S}} + \underbrace{\left[\frac{V}{r^2} - \frac{2}{r^2} \frac{\partial U}{\partial \theta} \right]}_{\text{T.D}}$$

Classification des équations EDP

Le classement des EDP écrits sous forme simple :

$$\sum_{i=1}^n a_i(x_1, x_2, \dots, x_n) \frac{\partial^2 \phi}{\partial x_i^2} + \sum_{i=1}^n b_i(x_1, \dots, x_n) \frac{\partial \phi}{\partial x_i} + c(x_1, \dots, x_n) \phi + d(x_1, \dots, x_n) = 0$$

Type elliptique : si tous les $a_i \neq 0$ et de m° signe (positif)

- hyperbolique : si tous les $a_i \neq 0$ et si une except° p'tie m° signe ($\exists i$ de m° signe)

- parabolique : $\exists a_i = 0$ (au moins un) et tous les autres de m° signe.

EDP ordre 2, 2 variables x, y

$$A \frac{\partial^2 \phi}{\partial x^2} + B \frac{\partial^2 \phi}{\partial x \partial y} + C \frac{\partial^2 \phi}{\partial y^2} + D \frac{\partial \phi}{\partial x} + E \frac{\partial \phi}{\partial y} + F \phi = G(x, y)$$

$\Delta = B^2 - 4AC$: Si $\Delta < 0 \Rightarrow$ éq elliptique

$\Delta > 0 \Rightarrow$ hyperbolique

$\Delta = 0 \Rightarrow$ parabolique

Variables à simple et double influence

- Si on chauffe une plaque d'un côté \rightarrow simple influence
- Si on chauffe à 2 cotés \rightarrow double influence
- Dans le cas d'un refroidissement :
 - $t=0 ; T=T_0$ et $t=5\text{min} T=T_1$ avec $T_1 < T_0$ simple influence.

\Rightarrow Coordonnée température est très simple influence.

Coordonnées Spatiales sont pratiquement très à double influence, mais dans certains cas elles peuvent être à simple influence.

On peut dire que l'équat° est parabolique si la coordonnée température est à simple effet.

Ex 2

$$* \frac{\partial^2 \phi}{\partial t^2} - c^2 \frac{\partial^2 \phi}{\partial x^2} = f(x, t) , x_1 = x_1 \text{ ou } x_2 \quad / x_1 = t \text{ et } x_2 = x$$

$\alpha_1 = 1$ et $\alpha_2 = -c^2 < 0 \Rightarrow$ équat° hyperbolique

$b = 0 - 4(1 \cdot c^2) = 4c^2 > 0 \Rightarrow$ éq. hyper

$$* y = \frac{\partial^2 \phi}{\partial x^2} - x^2 \frac{\partial^2 \phi}{\partial y^2} = 0$$

$$\left\{ \begin{array}{l} x_1 = x \\ x_2 = y \end{array} \right. \Rightarrow \left\{ \begin{array}{l} q_1 = y^2 > 0 \\ q_2 = -x^2 < 0 \end{array} \right. \Rightarrow \text{type hyperbolique.}$$

$$* \frac{\partial^2 \phi}{\partial x^2} - y \frac{\partial^2 \phi}{\partial y^2} + 4 \frac{\partial^2 \phi}{\partial x \partial y} = 0 \quad \Delta = 4^2 - 4(-4xy) = 16 + 4xy$$

$\begin{cases} x=0 \\ y=0 \end{cases}$ donc : $16 + 4xy > 0 \Rightarrow$ hyperbolique

$16 + 4xy < 0 \Rightarrow$ elliptique

$16 + 4xy = 0 \Rightarrow$ parabolique.

$$\text{Ex} : -\frac{\partial^2 \phi}{\partial x^2} - \frac{\partial^2 \phi}{\partial y^2} + \frac{\partial^2 \phi}{\partial t^2} = 0 \quad \Rightarrow \text{équation parabolique physiquement}$$

(x,y) : $A=-1$, $B=0$, $C=1$ car la coordonnée température est à simple effet.

$\Delta xy = -4 < 0 \Rightarrow$ elliptique.

(x,t) : $A=-1$, $B=0$, $C=0$, $\Delta x, t = 0$

(y,t) : $A=1$, $B=0$, $C=0$, $\Delta y, t = 0 \Rightarrow$ parabolique.

Exo 4:

* $y = \sin(\frac{\pi}{2}x)$ pour : $x = 0,5$ avec : $\Delta x = 0,1$.

Solution exacte : $y' = \frac{\pi}{2} \cos(\frac{\pi}{2}x) = \frac{\pi}{2} \cos \frac{\pi}{4} = \frac{\pi \sqrt{2}}{4} \Rightarrow y' = 1,1107$

$$\bullet \frac{dy}{dx} = \frac{y_{i+1} - y_{i-1}}{2\Delta x} = \frac{f(x_{i+1}) - f(x_{i-1})}{2\Delta x} = \frac{\sin(3\pi/10) - \sin(\pi/10)}{0.2} = 1.1063$$

$$\bullet \frac{dy}{dx} = \frac{y_{i+2} - y_i}{\Delta x} = \frac{f(x_{i+2}) - f(x_i)}{\Delta x} = \frac{\sin(3\pi/10) - \sin(\pi/10)}{0.1} = 1.0193$$

$$\bullet \frac{dy}{dx} = \frac{y_{i+2} + 8y_{i+1} - 8y_{i-1} + y_{i-2}}{12\Delta x} = \frac{f(x_{i+2}) + 8f(x_{i+1}) - 8f(x_{i-1}) + f(x_{i-2})}{12\Delta x} \\ = \frac{-\sin(4\pi/10) + 8\sin(3\pi/10) - 8\sin(\pi/10) + \sin(2\pi/10)}{12 \times 0.1} = 1.1107$$

Calcul d'erreur : $\varepsilon = |S_{\text{exacte}} - S_{\text{approché}}|$

$$\bullet \varepsilon_1 = |1.1107 - 1.1063| = 4.56 \cdot 10^{-3}$$

$$\bullet \varepsilon_2 = |1.1107 - 1.0193| = 9.16 \cdot 10^{-2} \quad \left. \begin{array}{l} \varepsilon_1 \leq \varepsilon_2 \\ \text{donc le 3^e terme est le plus exacte.} \end{array} \right.$$

* avec : $\Delta x = 0,05$

Solution exacte : $y' = \frac{\pi}{2} \cos \frac{\pi}{4} = 1.1107$

$$\bullet \frac{f(x_{i+2}) - f(x_{i-1})}{2\Delta x} = \frac{0.7604 - 0.6043}{0.05} = 1.1098$$

$$\bullet \frac{f(x_{i+2}) - f(x_{i-1})}{\Delta x} = \frac{0.7604 - 0.7041}{0.05} = 1.0660$$

$$\bullet \frac{-f(x_{i+2}) + 8f(x_{i+1}) - 8f(x_{i-1}) + f(x_{i-2})}{12 \times 0.05} = \frac{-0.3093 + 8 \times 0.7604 - 8 \times 0.6043 + 0.1987}{0.6} = 1.1103$$

Les écarts

$$\begin{aligned} \cdot \xi_1^1 &= (1,1107 - 1,1096) = 1,0 \cdot 10^{-3} \\ \cdot \xi_2^1 &= 1,1107 - 1,06601 = 4,5 \cdot 10^{-2} \\ \cdot \xi_3^1 &= |1,1107 - 1,1103| = 10^{-4} \end{aligned} \quad \left\{ \begin{array}{l} \xi_1^1 < \xi_2^1 < \xi_3^1 \\ \xi_3^1 \approx \xi_2^1 \end{array} \right.$$

* Comparaison entre les 2 cas :

$$\xi_1^1 < \xi_1^2 ; \xi_2^1 < \xi_2^2 ; \xi_3^1 \approx \xi_3^2 \quad \text{alors quand } h \rightarrow 0, \text{ l'écart } h$$

Exo 5:

$$\begin{aligned} \cdot \frac{d^2y}{dx^2} &= \frac{y_{i+2} - 2y_i + y_{i-2}}{\Delta x^2} = \frac{0,309 - 2 \cdot 0,707 + 0,5877}{0,1^2} = -3,7441 \\ \cdot \frac{d^2y}{dx^2} &= \frac{-y_{i+2} + 16y_{i+1} - 30y_i + 16y_{i-1} - y_{i-2}}{12 \Delta x^2} = \frac{0,391 + 16 \cdot 0,319 - 30 \cdot 0,707 + 16 \cdot 0,5877 - 0,309}{12 \cdot 0,1^2} \\ &= -1,7441 \end{aligned}$$

$$\text{Solution exacte : } y^* = -\frac{\pi^2}{4} \sin\left(\frac{\pi}{2}x\right) = -\frac{\pi^2}{4} \sin\frac{\pi}{2} = -1,7441.$$

$$\cdot \xi_1 = 3,6 \cdot 10^{-3} ; \xi_2 = 0$$

Exo 3:

Cas 1 : Et dans un plan :

forme initiale de la forme générale des équations de conservation.

$$\frac{\partial}{\partial t} (\rho \phi) + \sum_j (\rho u_j \phi_j) = \sum_j \left(\mu \frac{\partial \phi}{\partial x_j} \right) + S$$

$$\text{Equation de Mot : } \phi = U ; P = \mu ; S = -\nabla \cdot P$$

$$\text{Régime stationnaire : } \frac{\partial}{\partial t} (\rho u_i) = 0 \quad \left\{ \begin{array}{l} x_1 = x \\ x_2 = y \end{array} \right. \quad \left\{ \begin{array}{l} U_1 = U \\ U_2 = V \end{array} \right.$$

i : indice des variables dépendantes

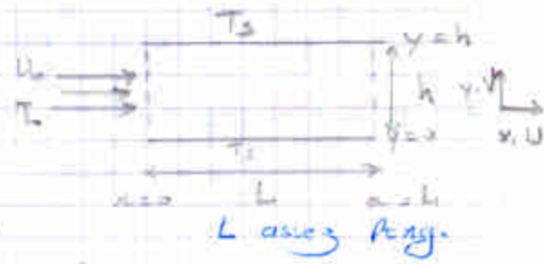
j : indice des variables indépendantes (direct)

fluide incompressible ($\rho = \text{const}$)

$$\text{Sous-totale : } \underbrace{\rho u \frac{\partial U}{\partial x} + \rho V \frac{\partial U}{\partial y}}_{T=0} = \mu \left(\frac{\partial^2 U}{\partial x^2} + \frac{\partial^2 U}{\partial y^2} \right) - \frac{\partial P}{\partial x}$$

$$\text{Sous-totale : } \underbrace{\rho U \frac{\partial V}{\partial x} + \rho V \frac{\partial V}{\partial y}}_{T=0} = \mu \left(\frac{\partial^2 V}{\partial x^2} + \frac{\partial^2 V}{\partial y^2} \right) - \frac{\partial P}{\partial y} + f_g$$

P : Pression totale.



Type d'équation suivant α

Simple effet: $\alpha = \infty$, $U = U_0$: conduit d'entrée

Double effet: $\begin{cases} y=0 \\ y=h \end{cases} \Rightarrow U=0$: conduit d'adhérence (non glissement)

Le terme $\frac{\partial U}{\partial x} \ll$ terme $\frac{\partial U}{\partial y}$: donc, diffusion axiale (écoulement) est négligeable.

$$\Delta = B^2 - 4AC = 0 - 4x_0 \cdot \mu = 0 \Rightarrow \text{éq parabolique.}$$

- Si on considère qu'il ya établissement hydrodynamique à l'entrée du canal.

Double effet: $\begin{cases} x=0 \\ x=L \end{cases} \Rightarrow U = U_0$ / Régime établi à la sortie

Double effet: $\begin{cases} y=0 \\ y=h \end{cases} \Rightarrow U=0$

donc. $\Delta = 0 - 4x_0 \cdot \mu = -4\mu^2 < 0 \Rightarrow \text{éq elliptique}$

Type d'équation suivant y

Simple effet: $\alpha = \infty$, $V = 0$: conduit d'entrée

Double effet: $\begin{cases} y=0 \\ y=h \end{cases} \Rightarrow V=0$: conduit de non-pénétration / imperméable
terme $\frac{\partial V}{\partial y} \ll$ terme $\frac{\partial V}{\partial x}$, $\Rightarrow \Delta = 0 \Rightarrow \text{éq parabolique.}$

- Régime établi à la sortie du canal.

Double effet: $\begin{cases} x=0 \\ x=L \end{cases} \Rightarrow V=0$ $\Rightarrow \Delta = -4\mu^2 < 0 \Rightarrow \text{éq elliptique}$

Double effet: $\begin{cases} y=0 \\ y=h \end{cases} \Rightarrow V=0$

// Eq d'énergie: $\phi = T$; $B = \frac{\lambda}{C_p}$; $S = \frac{Sh}{C_p}$; $Sh = 0$: pas de générat. de chaleur

$$C_p \rho (U \frac{\partial T}{\partial x} + V \frac{\partial T}{\partial y}) = \frac{\lambda}{Sx} (\lambda \frac{\partial T}{\partial x}) + \frac{\lambda}{Sy} (\lambda \frac{\partial T}{\partial y}) = \lambda \left(\frac{\lambda^2 T}{Sx^2} + \frac{\lambda^2 T}{Sy^2} \right) \quad / \quad t = -\frac{T}{\lambda}$$

Simple effet: $\alpha = \infty$; $T = T_0$: conduit d'entrée

Double effet: $\begin{cases} y=0 \\ y=h \end{cases} \Rightarrow T = T_s$

$\frac{\partial T}{\partial x} \ll \frac{\partial T}{\partial y}$, diffusion axiale de la chaleur est négligeable.

$$\Delta = B^2 - 4AC = 0 - 4x_0 \cdot \lambda \Rightarrow \text{éq parabolique}$$

Si on considère que le canal est assez long donc il y a établissement thermique à la sortie.

Double effet: $\left\{ \begin{array}{l} \alpha=0 \\ x=L \end{array} \right. \Rightarrow T=T_0$

Double effet: $\left\{ \begin{array}{l} y=0 \\ y=h \end{array} \right. \Rightarrow T=T_b$

eq elliptique

cas 2. Let de conducteur cylindrique

- On néglige suivant θ / symétrie de révolution

Et statique: $J_c = 0$

$$x: g\left(\frac{U\partial U}{\partial x} + \frac{V\partial V}{\partial r}\right) = -\frac{\partial P}{\partial x} + \mu\left(\frac{1}{r}\frac{\partial}{\partial r}\left(r\frac{\partial U}{\partial r}\right) + \frac{\partial^2 U}{\partial x^2}\right)$$

$$y: g\left(\frac{U\partial V}{\partial x} + \frac{V\partial U}{\partial r}\right) = -\left(\frac{\partial P}{\partial y} + \beta g\right) + \mu\left(\frac{1}{r}\frac{\partial}{\partial r}\left(r\frac{\partial V}{\partial r}\right) + \frac{\partial^2 V}{\partial x^2} - \frac{V}{r^2}\right)$$

Type d'équation suivant x équat² de M°F

Simple effet: $\alpha=0$, $U=U_0$

Double effet: $\left\{ \begin{array}{l} \alpha=0 \\ x=R \end{array} \right. \Rightarrow \frac{\partial U}{\partial x}=0$ (symétrie)

Non glissement, $\gamma=0$

Donc: $\frac{\partial^2 U}{\partial x^2} \ll \frac{\partial U}{\partial x}$; $\Delta=0 \Rightarrow$ eq parabolique

Si on considère l'établissement à la sortie.

Double effet: $\left\{ \begin{array}{l} \alpha=0 \\ x=L \end{array} \right. \Rightarrow \frac{\partial U}{\partial x}=0$ $\Delta=-4\mu^2 C$

Double effet: $\left\{ \begin{array}{l} r=0 \\ r=R \end{array} \right. \Rightarrow \frac{\partial U}{\partial r}=0$ (non glissement) \Rightarrow eq elliptique

Équat² énergétique $P_{cp}(U\frac{\partial T}{\partial x} + V\frac{\partial T}{\partial r}) = \lambda\left(\frac{1}{r}\frac{\partial}{\partial r}\left(r\frac{\partial T}{\partial r}\right) + \frac{\partial^2 T}{\partial x^2}\right)$

suivants:

double effet: $\left\{ \begin{array}{l} \alpha=0 \\ x=L \end{array} \right. \Rightarrow \frac{\partial T}{\partial x}=T_0-T_b$ (ad. régime stable)

suivants:

double effet: $\left\{ \begin{array}{l} \alpha=0 \\ R=R \end{array} \right. \Rightarrow \frac{\partial T}{\partial r}=0$ (symétrie)

~ Les eq de M°F et d'énergie sont elliptiques.

Eq: L'éq de continuité est toujours parabolique (Il résulte des dérivées 1^{er})

$\frac{\partial U}{\partial x} + \frac{\partial V}{\partial r} = 0$ Partie constante

$\frac{\partial U}{\partial x} + \frac{1}{r}\frac{\partial V}{\partial r} = 0$ Partie constante

Résolution d'un système d'équation linéaire

Il existe méthodes de résolution { Méthode directe TDMA

{ Méthodes itératives Gauss Seidel

TDMA "Tridiagonal Matrix Algorithm"

Résolution d'un problème de TC conduit au système d'équation linéaire de la forme $a_i T_i = b_i$; $T_{i+1} + c_i$; $T_{i-1} + d_i$

La réécriture de recurrence est de la forme : $T_i = P_i + T_{i+1} + q_i$.

Algorithm de Thomas "TDMA"

- Lecture des coefficients ($a_i, b_i, c_i, d_i, i=1, N$)
- calcul de P_i et q_i

$$P_i = b_i / a_i$$

$$q_i = d_i - c_i P_{i-1}$$

- Calcul de P_i et q_i pour $i = 2, N-1$

$$P_i = b_i / (a_i - c_i P_{i-1})$$

$$q_i = (d_i - c_i q_{i-1}) / (a_i - c_i P_{i-1})$$

- Calcul de T_N

$$T_N = (d_N - c_N q_{N-1}) / (a_N - c_N P_{N-1})$$

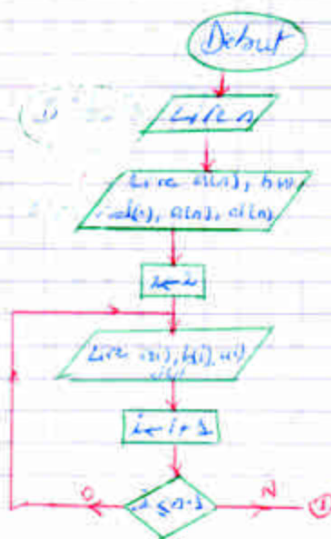
$$T_N = q_N$$

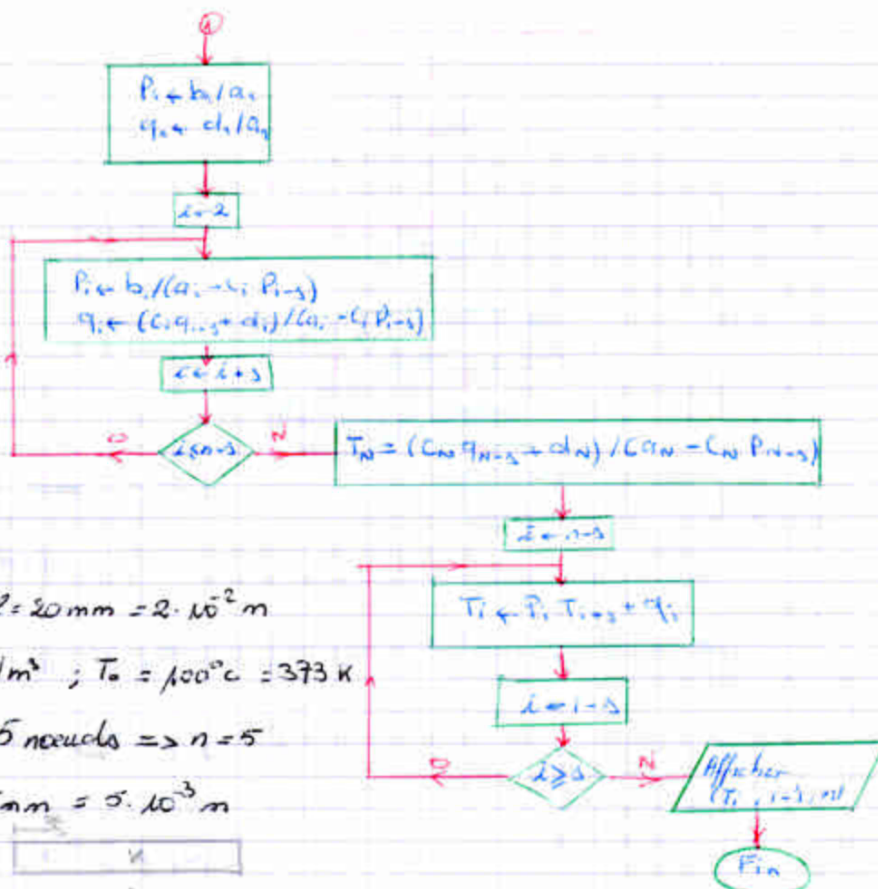
- Calcul dans l'ordre $T_{N-1}, T_{N-2}, T_3, T_2, T_1$ par la formule :

$$T_i = P_i T_{i+1} + q_i \quad (i=N-1, 1)$$

- Affichage

Organigramme de TDMA





Équation de conduction: $\frac{d}{dx} \left(K \frac{dT}{dx} \right) + S = 0$

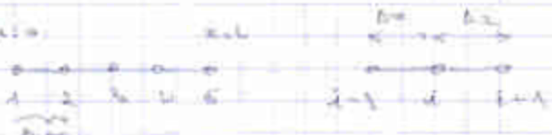
$$K = \text{const} ; S = \text{const} \rightsquigarrow K \frac{d^2 T}{dx^2} + S = 0$$

Condition aux limites:

$$x = 0 \quad T = T_0$$

$$x = L \quad T = T_c$$

Maillage uniforme (n Pas)



$$x_i = x_{i-1} + \Delta x$$

$$\text{ou}$$

$$x_i = x_0 + (i-1)\Delta x$$

Écriture de l'éq de conduction par la méthode des + finis utilisant du schéma centré.

$$\text{About A: } T_i = T_0 \text{ (c. l.)}$$

Noeud i: $\frac{\Delta T}{\Delta x^2} = \frac{T_{i+1} - 2T_i + T_{i-1}}{\Delta x^2} + \Theta(\Delta x^2) \rightarrow \text{négligeable}$

$$= \frac{T_{i+1} - 2T_i + T_{i-1}}{\Delta x^2}$$

$$K \left(\frac{T_{i+1} - 2T_i + T_{i-1}}{\Delta x^2} \right) + S = 0 \iff T_{i+1} - 2T_i + T_{i-1} + \frac{S \Delta x^2}{K} = 0$$

Pour $\epsilon = 2,4$

Le système d'équations linéaire obtenu est:

$$\begin{cases} T_3 - 2T_2 + T_1 + 50 = 0 \\ T_4 - 2T_3 + T_2 + 50 = 0 \\ T_5 + 2T_4 + T_3 + 50 = 0 \end{cases} \quad T_2, T_3, T_4 \rightarrow \text{Inconnues.}$$

Les équations décrites peuvent se mettre sous la forme:

$$a_i T_i = b_i; T_{i+1} + c_i T_{i-1} + d_i, \quad i = 2,4$$

$$\text{avec: } a_i = 2, \quad b_i = c_i = 1; \quad d_i = 50; \quad \epsilon = 2,4$$

Noeud 5: $T_5 = T_L$ (c.l.)

solution exacte: $\frac{d}{dx} \left(K \frac{dT}{dx} \right) + S = 0 \iff \int \left(\frac{d}{dx} \left(K \frac{dT}{dx} \right) + S \right) dx = 0$

$$K \frac{dT}{dx} + Sx + C_1 = 0 \iff K \frac{dT}{dx} = -Sx - C_1$$

$$K \frac{dT}{dx} = \int (-Sx - C_1) dx \iff KT = -\frac{S}{2} x^2 - C_1 x + C_2$$

donc $T(x) = \frac{-S}{2K} x^2 - \frac{C_1}{K} x + \frac{C_2}{K}$: profil parabolique
et C_1, C_2 à déterminer.

et: $x=0, T=T_0 = \frac{C_2}{K} \rightsquigarrow C_2 = KT_0$

$$x=L, \quad T=T_L \rightsquigarrow T_L = -\frac{S}{2K} L^2 - \frac{C_1 L}{K} + T_0 \rightsquigarrow C_1 = (T_0 - T_L) \frac{K}{L} - \frac{S}{2} L$$

$$T(x) = \frac{-S}{2K} x^2 + \left(\frac{T_0 - T_L}{L} + \frac{S L}{2K} \right) x + T_0$$

A.N.: $T(x) = -10^6 x^2 + 25 \cdot 10^3 x + 373$

S.E.
S.N.

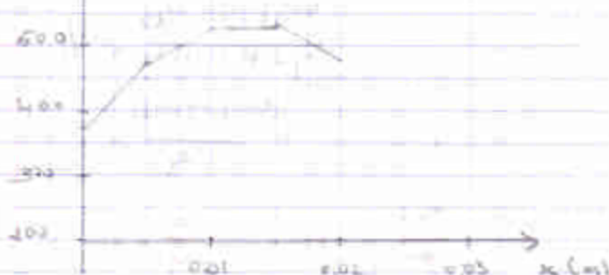
$$x = 0 \text{ m} \quad T(x) = 373 \text{ K}$$

$$x = 5 \cdot 10^3 \text{ m} \quad T(x) = 473 \text{ K}$$

$$x = 10 \cdot 10^3 \text{ m} \quad T(x) = 523 \text{ K}$$

$$x = 15 \cdot 10^3 \text{ m} \quad T(x) = 583 \text{ K}$$

$$x = 20 \cdot 10^3 \text{ m} \quad T(x) = 643 \text{ K}$$



Le déroulement de l'algorithme

i	a	b	c	d	P	Q	TMI
1	5	0	-	373	0	373	373
2	2	1	1	50	0,5	211,5	473
3	2	1	1	50	0,67	174,33	523
4	2	1	1	50	0,75	168,25	523
5	3	-	0	473	-	473	473

$$P_i = \frac{b_i}{a_i} ; q_i = \frac{d_i}{a_i}$$

$$P_i = \frac{b_i}{a_i - c_i P_{i-1}}$$

$$q_i = \frac{c_i q_{i-1} + d_i}{a_i - c_i P_{i-1}}$$

$$T_n = q_n$$

Programme de TDMA

Résolution par méthode itérative "Gauss Seidel"

La forme générale des équations caractéristiques : $-c_i T_{i-1} + a_i T_i - b_i T_{i+1} = d_i$

$$\Rightarrow a_i T_i = d_i + c_i T_{i-1} + b_i T_{i+1} \quad \text{Pour } i = 2, 4$$

$$\Rightarrow T_i = (d_i + c_i T_{i-1} + b_i T_{i+1}) / a_i \quad i = 2, n-1$$

$$T_1 = (d_1 + b_1 T_2) / a_1 \quad \text{et} \quad T_n = (d_n + c_n T_{n-1}) / a_n$$

La méthode de Gauss Seidel ne converge pas toujours pour garantir la convergence il suffit de satisfaire le critère de Scarborough.

$$\frac{\sum |a_{np}|}{|a_{pp}|} \left\{ \begin{array}{l} \leq 1 \text{ Pour tous les équat.} \\ < 1 \text{ Pour au moins une équat.} \end{array} \right.$$

a_{np} : coeff voisins du noeud principal (c_i et b_i)

a_{pp} : coeff du noeud principal (a_{ii})

L'Algorithm de la méthode Gr. 3

Début

Lire (n , ϵ_{ps} , k_{max})

Lire (a_{ii} , b_{ii} , c_{ii} , d_i , $i = 1, n$)

$T(1) \leftarrow T_0$

$T_n \leftarrow T_0$

Pour $i \in 2 \text{ à } n-1$ faire

$T(i) \leftarrow d(i) / a_{ii}$

Fin pour

$k \leftarrow 1$

ecart $\leftarrow 3 + \epsilon_{ps}$

Tant que (ecart $>$ ϵ_{ps} et $k \leq k_{max}$) faire

ecart $\leftarrow 0$

Pour $i \in 2 \text{ à } n-1$ faire

$s \leftarrow b(i) + T(i+1) + c(i) + T(i-1)$

$T_p \leftarrow (d(i) + s) / a_{ii}$

Si ($T_p = 0$) alors

$r \leftarrow \text{abs}(T(i) - T_p)$

Sinon

$r \leftarrow \text{abs}((T(i) - T_p) / T_p)$

Fin si

ecart $\leftarrow \max(r, \text{ecart})$

$T(i) \leftarrow T_p$

Fin pour

$k \leftarrow k + 1$

Fin tant que

Fin

Le déroulement de l'algorithme de la méthode Gr.S

• Lecture des coeff $(n, a, b, c, d, i=1)$

• choix initial : $(k=0)$

1^{ère} itération ($k=1$)

$$i=2: S = b_2 T_3^{(0)} + c_2 T_4^{(0)} = 25 + 373 = 398$$

$$T_p = (d_2 + S) / a_2 = (50 + 398) / 12 = 224$$

$$r = \left| \frac{T_p - T_2}{T_p} \right| = 0,384$$

$$\text{écart} = \max(r, \text{écart}) = \max(0,384, 0) = 0,384$$

$$T_2^{(1)} = T_p = 224$$

$$i=3: S = b_3 T_4^{(1)} + c_3 T_5^{(1)} = 25 + 224 = 249$$

$$T_p = 149,5$$

$$\text{écart} = 0,3328$$

$$T_3^{(1)} = T_p$$

$$i=4: S = 622,5$$

$$T_p = 336,25$$

$$\text{écart} = 0,3257$$

$$T_4^{(1)} = T_p$$

$$k=3$$

$$\text{écart} = \max = 0,3257$$

Arrêt du processus itératif si

$k > k_{\text{max}}$ ou $\text{écart} < \text{eps}$

$$T^{(0)} = \begin{pmatrix} T_0 \\ d_2/a_2 \\ d_3/a_3 \\ d_4/a_4 \\ T_p \end{pmatrix} \Rightarrow \begin{pmatrix} T_1 \\ T_2 \\ T_3 \\ T_4 \\ T_5 \end{pmatrix} = \begin{pmatrix} 373 \\ 25 \\ 25 \\ 25 \\ 473 \end{pmatrix}$$

$$T^{(1)} = \begin{pmatrix} 373 \\ 224 \\ 149,5 \\ 336,25 \\ 473 \end{pmatrix}$$

Program ex06 Seite 2

Dimension a(10), b(10), c(10), d(10), x(10), T(10)

Real h, k, l, s

Open (unit = 3, file = 'Reslt.dat', status = 'unknown')

Data l, k, s, T0, Tl / 0.02, 0.5, 1e6, 373, 473 /

Print*, 'n = '

Read*, n

$$h = l / (n - 1)$$

$$s = s * h * \pi^2 / k$$

$$a(1) = 1$$

$$b(1) = 0$$

$$d(1) = T_0$$

$$c(n) = 0$$

$$d(n) = T_L$$

Do i = 2, n-1

$$a(i) = 2$$

$$b(i) = 1$$

$$c(i) = 1$$

$$d(i) = s$$

End do

Do i = 1, n

Print*, 'a(', i, ') = ', a(i)

End do

$$x(1) = 0$$

$$x(n) = l$$

Do i = 2, n-1

$$x(i) = x(1) + (i-1) * h$$

- 4 bis -

```

Call Thomas (n, a, b, c, d, T)
Do i = 1, n
    Print *, 'x(' , i , ') = ', x(i) , '   T(' , i , ') = ', T(i)
    Write (3, 10) x(i), T(i)
10 Format (2x, F6.3, 6x, F5.1)
end do
end

```

sous-programme Type subroutine

```
subroutine Thomas (n, a, b, c, d, T)
```

Dimension a(10), b(10), c(10), d(10), p(10), q(10), T(10)

Real deno

$$p(1) = b(1) / a(1)$$

$$q(1) = d(1) / a(1)$$

$$T(1) = q(1)$$

Do 100 i=2, n-1

$$\text{deno} = a(i) - c(i) * p(i-1)$$

$$p(i) = b(i) / \text{deno}$$

$$q(i) = c(i) * q(i-1) + d(i)$$

$$q(i) = q(i) / \text{deno}$$

100 continue

$$q(n) = c(n) * q(n-1) + d(n)$$

$$q(n) = q(n) / (a(n) - c(n) * p(n-1))$$

$$T(n) = q(n)$$

Do 200 i=n-1, 2, -1

$$T(i) = p(i) * T(i+1) + q(i)$$

Return

end

Program seidel

Parameter (n=5)

Dimension a(n), b(n), c(n), d(n), T(n), x(n)

Real d, h

Data (a(i), i=1,n) / 1, 2, 2, 2, 1 /

Data (b(i), i=1,n-1) / 0, +1, +1, +1 /

Data (c(i), i=2,n) / +1, +1, +1, 0 /

Data (d(i), i=1,n) / 373, 50, 50, 50, 473 /

T(1) = 373 ①

T(n) = 473

Do i = 2, n-1

T(i) = d(i)/a(i)

ENDDO

Call Gauss seidel (n, a, b, c, d, T, ecart, k)

Do i = 1, n

Print*, 'T(' , i, ') = ', T(i), ' x(' , i, ') = ', x(i)
Enddo

Print*, 'ecart= ', Ecart, ' k= ', k

END

Subroutine Gauss seidel (n, a, b, c, d, T, ecart, k)

Dimension a(n), b(n), c(n), d(n), T(n)

Real eps, Tp, s, ecart

Print*, 'eps= ', ' kmax= '

Read*, eps, kmax

k = 1

Ecart = eps + 1

Do while (ecart > t, eps, and k.le.kmax)

ecart = 0

Do i = 2, n-1